



بررسی اثر ناخالصی سریوم بر ویژگی‌های مغناطیسی فیلم‌های نازک (نانومتری) گارنت ایتریوم آهن بر بسترهای کوارتز

احمد حسن‌پور^{*}، محمد غریب شاهی، محمد نیایی فر

گروه فیزیک، دانشگاه آزاد اسلامی واحد اهواز، اهواز، ایران

(دریافت مقاله: ۹۳/۳/۱۷، نسخه نهایی: ۹۳/۷/۱۵)

چکیده: در این پژوهش، لایه‌های نازک گارنت ایتریوم آهن جانشانی شده با سریم، با فرمول عمومی $\text{Ce}_x\text{Y}_{3-x}\text{Fe}_5\text{O}_{12}$ و با مقادیر $x=0.0/0.5/0.1/0.0/0.0$ ، به روش سل-ژل و پوشش چرخشی (spin coating) و عملیات گرمادهی بر بسترهای کوارتز تهیه شد. نمونه‌های تهیه شده، برای بررسی ویژگی‌های فیزیکی، مورد بررسی قرار گرفتند، اثر ناخالصی Ce بر خواص ساختاری، ریخت‌شناختی سطح فیلم و ویژگی‌های مغناطیسی به ترتیب با آنالیز پراش پرتو ایکس (XRD)، میکروسکوپ نیروی اتمی (AFM) و مغناطش سنج ارتعاشی (VSM) مورد بررسی قرار گرفت. تصویر میکروسکوپ نیروی اتمی (AFM) نمونه‌های تهیه شده نشان می‌دهد که لایه‌های نازک دارای سطح پیوسته و هموار هستند.

واژه‌های کلیدی: Ce:YIG؛ سل-ژل-لایه‌ی نازک.

مقدمه

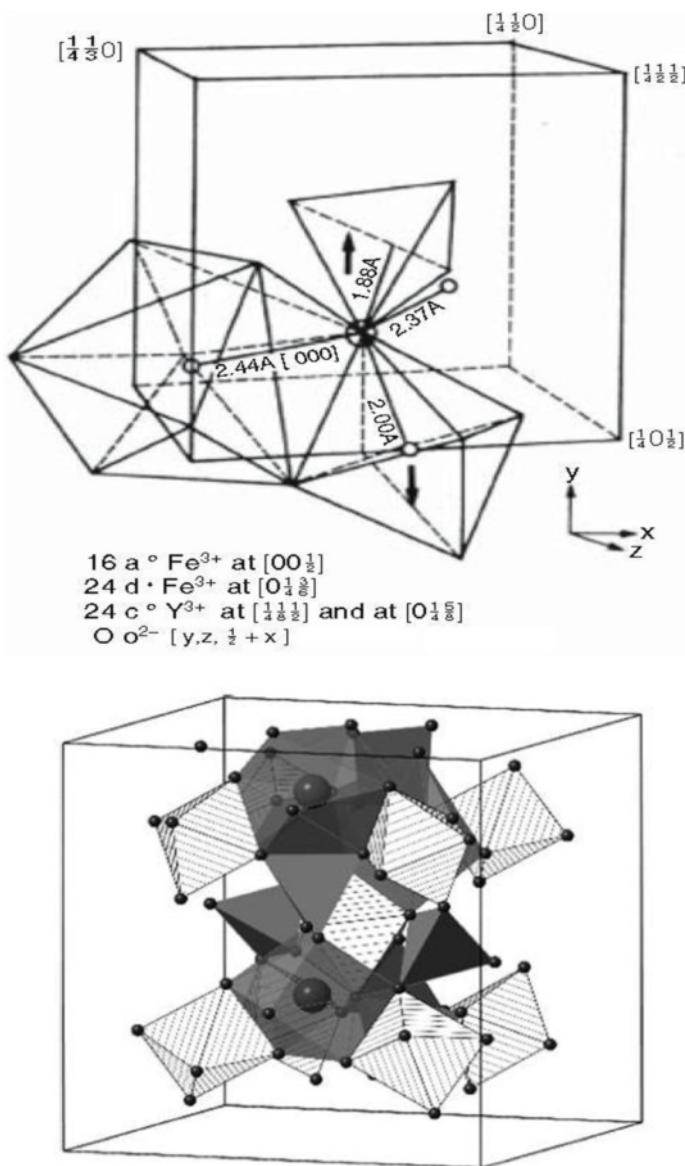
گارناتهای گشتاور مغناطیسی آن‌ها m_a و m_d پادموازی هستند [۴]. در این گارنت، ایتریوم جایگاه ۱۲ وجهی $\{c\}$ را اشغال می‌کند. با جانشانی یک یون خاکی نادر مغناطیسی به جای بخشی از Y^{3+} (دیامغناطیس) در (YIG)، سومین زیرشبکه مغناطیسی، در واقع جایگاه $\{c\}$ معرفی می‌شود، که در آن (m_{RE}) بردار گشتاور مغناطیسی مربوط به این جایگاه است [۵]. در مدل سه جایگاهی نیل، گشتاور مغناطیسی جایگاه c با برایند مغناطش دو جایگاه دیگر در حالت پاد موازی قرار دارد. اگر M_a ، M_d و M_{RE} مغناطش هر زیر شبکه باشد، مغناطش کل گارنت با معادله‌ی زیر به دست می‌آید:

$$M(\text{REIG}) = |M_{\text{RE}} - (M_d - M_a)| \quad (1)$$

برای یون‌های سنگین خاکی نادر ($\text{La}^{3+}, \dots, \text{Yb}^{3+}$)، $M_{\text{Fe}} = M_d - M_a$ پادموازی با برآیند گشتاور مغناطیسی آهن

گارناتهای خاکی نادر با فرمول عمومی $(\text{RE}^{3+})_3[\text{Fe}^{3+}]_2(\text{O}^{2-})_{12}$ موادی دارای نظم فری مغناطیس هستند، که RE^{3+} می‌تواند هر یون خاکی نادر سه ظرفیتی یا Y^{3+} باشد. ساختار بلوری این مواد با گروه فضایی مکعبی ($Ia3d$ - (O_h^{10})) توصیف می‌شود [۳-۱]. در این مواد ۸ واحد فرمولی تشکیل یک سلول قراردادی رخ مرکزدار را آن ۹۶ یون O^{2-} تشکیل یک سلول قراردادی رخ مرکزدار داده و کاتیون‌های فلزی به صورت بین نشین در جایگاه‌های چهار وجهی (d)، هشت وجهی (a)، و دوازده وجهی (c) قرار می‌گیرند (شکل ۱) [۳]. ساختار مغناطیسی گارناتهای آهن-خاکی نادر (REIG) با استفاده از نظریه‌ی فری مغناطیسی نیل به خوبی قابل توجیه است. بر اساس این نظریه، برهمکنش ابرتبدالی شدید بین دو زیر شبکه‌ی آهن-

* نویسنده مسئول، تلفن: ۰۹۱۳۳۰۲۲۸۳۱، پست الکترونیکی: hasanpour88@gmail.com



شکل ۱ (الف): ساختار مکعبی گارنت ایتریم آهن YIG. (ب) ساختار گارنت طرح وار نشان داده شد [۶]. چند وجهی های مات جایگاه های c (دوازده وجهی) هستند، چند وجهی هایی که با خط تیره روی آنها مشخص شده اند جایگاه های هشت وجهی a، و چند وجهی هایی که با رنگ خاکستری نشان داده شده اند جایگاه های چهار وجهی d را نمایش می دهد [۳۲].

گارنت ها در حافظه های حبابی در بیش از ۲۰ سال پیش بوده است. امروزه، این مواد مغناطیوپتیک، عناصری کلیدی برای کاربردهای عملی گوناگون محاسبه می شوند. این مواد در چرخشگر فارادی، ایزولاتورهای اپتیکی و سنسورهای جریان مغناطیسی کاربرد دارند [۷]. سال های ۲۰۱۰ و ۲۰۱۱، شاهد تولد الگویی در زمینه ای سپینترونیک^۱، و با استفاده از گارنت های ایتریوم آهن هستیم [۸-۱۳]. اهمیت این پژوهش، بررسی میدانی از دو ویژگی وابسته به گارنت ایتریوم آهن است که

است. اگر $M_{\text{Fe}} \approx M(\text{YIG})$ باشد، و معادله (۱) در یک برآورد اولیه:

$$M(\text{REIG}) = |M_{\text{RE}} - M_{\text{Fe}}| \approx |M_{\text{RE}} - M_{\text{YIG}}| \quad (2)$$

خواهد بود، یون های عناصر خاکی نادر به علت شعاع یونی بزرگ، چنانکه گفته شد، نمی توانند جایگاه های (a) و (d) را اشغال کنند بلکه در جایگاه دوازده وجهی قرار می گیرند. بنابراین با جانشانی سریم، یون های سه ظرفیتی پارامغناطیسی Ce^{3+} جایگزین بخشی از یون های نامغناطیسی Y^{3+} در جایگاه {c} می شوند [۶]. اولین استفاده های صنعتی

¹ Spintronic

- ژل به کار رفته، یک روش همنهشتی جدید است که مزایایی از جمله هزینه پایین، فرایند ساده و توانایی تولید اندازه‌ی لایه-هایی با ابعاد نانومتر را در بر دارد [۲۹]. در این پژوهش هدف ما تهیه‌ی نسبتاً ارزان لایه‌های بس بلور Ce:YIG بر بستر کوارتز و پرسی ویزگی‌های فیزیکی آن است.

شرح آزمایش

مواد به کار رفته در تهیه لایه‌های نازک، شامل نیترات‌های آهن $\text{Fe}(\text{NO}_3)_3 \cdot 9\text{H}_2\text{O}$ ، ایتریوم $\text{Y}(\text{NO}_3)_3 \cdot 6\text{H}_2\text{O}$ و سریوم $\text{Ce}(\text{NO}_3)_3 \cdot 6\text{H}_2\text{O}$ که همه‌ی آن‌ها از شرکت مرک آلمان با خلوص ۹۹.۹٪ تهیه و از صفحات کوارتز به عنوان بستر لایه نشانی استفاده شد. با در نظر گرفتن $C/N = I$ (نسبت نیترات به یون نیترات) مواد اولیه و اسید سیتریک با نسبت شیمیایی $\text{pH} = 2$ ، مناسب در آب قطره حل شد و به منظور تنظیم محلول آمونیاک قطره قطره به محلول اضافه گردید. سل آماده شده با یک همزن مغناطیسی در دمای 80°C به ژل تبدیل شد. ژل مورد نظر روی بسترها با سرعت 3000 rpm و غلاظت-های متفاوت به صورت فرآیند لایه نشانی چرخشی در دمای اتاق لایه‌نشانی شدند. سپس لایه‌های نازک به دست آمده در کوره در دماهای 700°C تا 900°C به مدت ۳ ساعت گرمادهی قرار شدند. ساختار بلوری و تشکیل فاز لایه‌های نازک به دست آمده با استفاده از پراش پرتو ایکس بررسی شد. ریخت‌شناسی لایه‌های نازک نیز با میکروسکوپ نیروی اتمی (AFM) مورد بررسی قرار گرفت. چرخه‌ی پسماند مغناطیسی نمونه‌های مورد نظر با یک مغناطش‌سنجدار تعاشی (VSM) مورد بررسی قرار گرفتند.

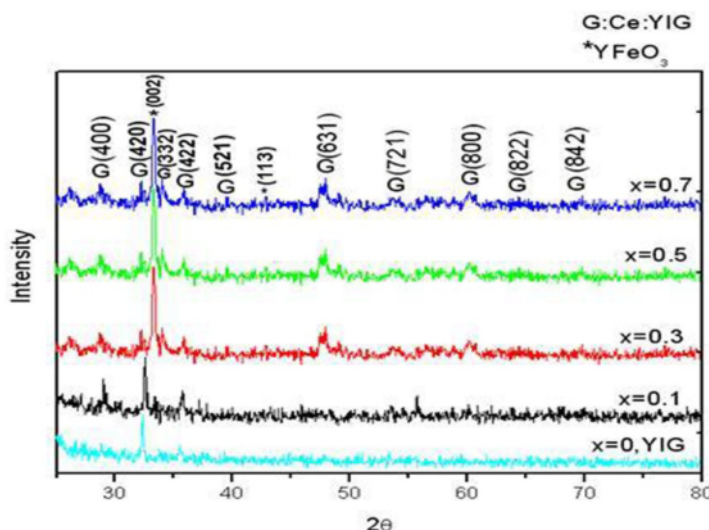
بررسی نتایج

شکل (۲) الگوی پراش پرتو ایکس وابسته به لایه‌های نازک $\text{Ce}_x\text{Fe}_5\text{O}_{12}$ ($x = 0.05$ ، 0.1 و 0.2) است (x). تهیه شده در دمای 800°C ، و شکل (۳) الگوی پراش پرتو ایکس لایه‌های نازک $\text{Ce}_{0.3}\text{Y}_{2.7}\text{Fe}_5\text{O}_{12}$ در گستره‌ی دمایی 700 تا 900 درجه‌ی سلسیوس به مدت ۳ ساعت را نشان می‌دهند. با توجه به شکل (۳)، می‌توان گفت که تقریباً مناسب‌ترین دمای تشکیل فاز گارنت برای همه‌ی نمونه‌ها 800°C است که به مراتب از دمای تشکیل برای این دسته از لایه‌ها که با روش‌های دیگر همانند روش PLD تشکیل می‌شود به صورت چشم‌گیری پایین‌تر است [۱۶]. این کاهش دما ناشی از همگنی و ماندگاری ژل مورد نظر در $\text{pH} = 2$ و نیز بستر کوارتز است [۳۰]. با توجه به

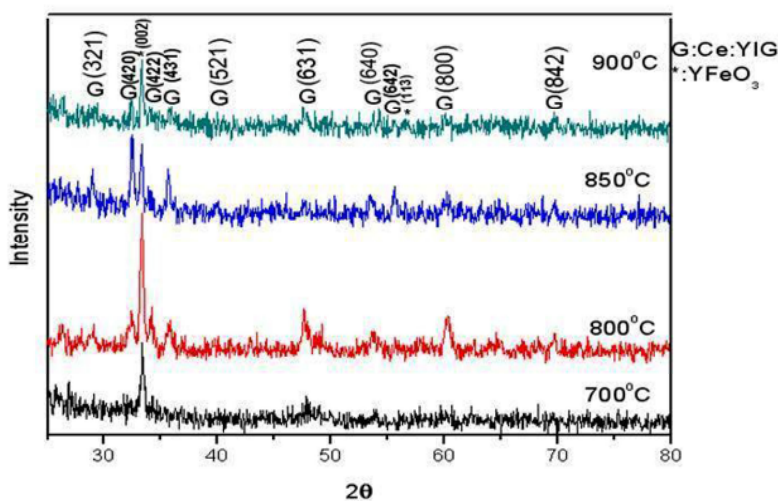
عبارتند از: (۱) میرایی بسیار کم و (۲) رفتار نارسانایی که میرایی بسیار بالا هستند. ثابت میرایی ذاتی در YIG است، که اندازه‌اش دو مرتبه بزرگی کوچکتر از فلزات فرومغناطیس است [۱۴]. این میرایی کوچک برای بسیاری از کاربردها از جمله‌ی به کارگیری در نوسانگرهای گشتاور اسپینی و موج اسپینی بر اساس طرح‌های منطقی بسیار مناسب است [۱۵]. معمولاً برای تنظیم و کنترل میزان جذب و مغناطش و سایر ویژگی‌های دیگر گارنت ایتریوم آهن، به جای ایتریوم بسیاری از عناصر خاکی نادر جانشین می‌شوند. به این دلیل اثرهای عناصر جانشانی شده روی ویژگی‌های گارنت ایتریوم آهن توسط تاکتوچی در سال ۱۹۷۳، مانبائو ۱۹۹۰، کیم ۱۹۹۱، حسن پور و همکارانش در سال ۲۰۰۴، ۲۰۰۷ و ۲۰۱۱، و یانگ گامبینو و سوزوکی در سال ۲۰۰۰، اوتسورک و همکارانش در سال ۲۰۰۷ به این نتیجه رسیدند که زمانی که گارنت‌های مغناطیسی روی بسترها بی‌شک همانند شیشه یا بر بسترها دیگری از قبیل گادولینیوم گالیوم گارنت و سیلیس لایه نشانی می‌شوند نیاز به تبلور دوباره و گرمادهی در دماهای بالاتر از ۶۰۰ درجه‌ی سلسیوس دارند، همچنین ویژگی‌های مغناطیسی، اثر بستر، دما، ساختار شبکه و اثر مولی سریم و ایتریوم را مورد بررسی قرار دادند و به این نتیجه رسیدند که جانشانی سریم باعث بهتر شدن بلورینگی می‌شود [۱۶ و ۲۳]. لایه‌های نازک گارنت ایتریوم-آهن جانشین شده با سریم دارای اثر مغناطونوری بالا و اتفاق کم‌اند که نامزد خوبی برای کاربردهایی در ابزارهای موجبری ناوارون، قطعات اپتیکی، حافظه‌های مغناطونوری با کارایی بالا به حساب می‌آیند [۲۵]. لایه‌های نازک این گارنت، بیشتر بر بسترها تک بلوری همانند گادولینیوم گالیوم گارنت و یا تک بلورهایی همانند آن و به صورت تک بلور رشد داده می‌شوند و چون تولید این گونه بسترها رشد بسیارگران است از نظر اقتصادی مقرن به صرفه نیست، رشد بر بسترها نسبتاً ارزان و دسترس‌پذیر همانند کوارتز و میکا بر ویژگی‌های این ماده کمتر مورد توجه قرار گرفته است. لایه‌های نازک گارنت ایتریوم آهن جانشین شده با سریم با روش‌های متفاوتی از جمله لایه‌نشانی غرق آبی، فناوری پاششی و روش لیزرپالسی، لایه‌نشانی شده‌اند [۲۶-۲۸]. در این پژوهش از روش لایه نشانی چرخشی برای لایه نشانی، و از روش سل-ژل برای تهیی محصول مورد نظر برای لایه نشانی بر بسترها گوناگون استفاده شده است. روش سل

دماست، زیرا در این دما ذرات گارنت با تجزیه‌ی بخشی از گارنت به اکسیدهای اولیه دانه‌ها کوچکتر می‌شوند [۳۵-۳۳]. با توجه به جدول (۳) با افزایش میزان جانشانی سریوم ثابت شbekه از ۱۲۳۶ تا ۱۲۴۴ آنگستروم افزایش می‌یابد، زیرا شعاع یونی⁺ Ce³⁺ (۰/۱۸۸nm) بزرگتر از Y³⁺ (۰/۱۰۶nm) است [۶]. تصاویر AFM نمونه‌های تهیه شده که در شکل (۴) نمایانده شده، نشانگر یک ساختار همبند و تقریباً یکنواخت است. چنانکه مشاهده می‌شود، بستر نشان داده شده پله ایست و ساختاری تخت دارد. چنانکه از شکل پیداست، خصامت لایه-هموار و همبند است. این نتایج نشان می‌دهد که لایه‌های نازک تهیه شده به روش سل-زل دارای ناهمواری کمتری در مقایسه با فیلم‌های تهیه شده به روش‌های دیگر همانند PLD هستند [۲۴]. بنابراین می‌توان گفت که در این روش چگالی هسته‌زایی نسبت به روش‌های دیگر بیشتر است که این خود سبب می‌شود تا اندازه‌ی ذرات سطح فیلم کوچک‌تر و در نتیجه فیلم همبندتر و یکنواخت‌تر شود [۳۶ و ۳۷]. شکل (۵) چرخه پسماند مغناطیسی نانو ذرات Ce:YIG در لایه‌های نازک در دمای اتفاق را نشان می‌دهد. بر اساس این شکل و نمودار شکل (۶) مشاهده می‌شود که با افزایش غلظت سریوم مغناطش اشباعی نمونه‌ها روند کاهشی دارد، که برای ۰/۷، شبی این کاهش تندتر است. این رفتار مغناطش اشباعی را می‌توان به سه عامل نسبت داد، نخست این که ورود یک یون پارامغناطیس نظری سریوم در جایگاه ۱۲ وجهی، و بر اساس مدل سه جایگاهی نیل، موجب کاهش مغناطش اشباعی می‌شود، دوم، ورود سریوم که دارای شعاع بزرگ‌تری نسبت به ایترویوم است انبساط شبکه را در پی دارد که خود سبب کاهش مغناطش اشباعی می‌شود، و سوم افزایش میزان حضور فاز ارتوفرایت که خود در این دما یک فرومغناطیس ضعیف است [۳۳ و ۳۸]. علاوه بر سه عامل یاد شده تاثیر اندازه‌ی بلورک‌ها بر مغناطش اشباعی را نیز باید در نظر گرفت؛ با این توضیح که با ورود سریوم اندازه‌ی بلورک‌ها نسبت به نمونه‌ی فاقد سریوم کاهش یافته و با کاهش اندازه‌ی بلورک‌ها مغناطش اشباع کاهش می‌یابد، این می‌تواند ناشی از افزایش نسبت سطح به حجم بزرگ‌تر در ذرات کوچک‌تر باشد که منجر به افزایش لایه‌های سطحی نامغناطیسی و در نتیجه کاهش مغناطش می‌شود [۳۱، ۳۳، ۳۵].

بررسی‌های پراش پرتو ایکس، ناخالصی ارتوفرایت^۲ ایترویوم (YFeO₃) در تمامی نمونه‌ها وجود دارد. از آنجا که در تهیه‌ی لایه‌های نازک گارنت با این روش، همواره مقدار آهن همراه مواد آلی در فرآیند گرمادهی از محلول خارج می‌شود، بنابراین نسبت سنجی شیمیابی ژل به هم خورده و در نتیجه فاز میانی ارتوفرایت YFeO₃ تشکیل می‌شود [۶]. با توجه به شکل (۲)، مشاهده می‌شود که در این دما Ce با غلظت ۰/۱ کاملاً وارد ساختار شده و همه‌ی قله‌های پراش وابسته به ساختار گارنت را می‌توان مشاهده کرد، ولی برای مقادیر بیشتر یعنی ۰/۳ تا ۰/۷ شدت قله‌های اصلی گارنت کاهش یافته و قله‌های وابسته به ناخالصی YFeO₃ افزایش می‌یابد. این فرایند می‌تواند ناشی از ضریب نفوذ کم سریوم در گارنت باشد که مقدار آن مساوی و یا کمتر از ۰/۳ است [۳۱]. با توجه به شکل (۳)، با افزایش دما تا ۸۵۰°C از شدت قله‌های ناخالصی کاسته و به شدت قله‌ی گارنت افزوده می‌شود، ولی باز هم ناخالصی به مقدار چشمگیری وجود دارد، و با افزایش دما تا ۹۰۰°C این فرایند وارون شده و دوباره قله‌ی ناخالصی افزایش می‌یابد، و این نشان دهنده‌ی آن است که در دمای بالاتر دوباره بلورک‌ها تجزیه شده و ناخالصی سریوم ساختار گارنت را ترک می‌کند. با توجه به آنچه گفته شد می‌توان نتیجه گرفت که بهینه دمای تهیه این ترکیب ۸۰۰°C است و در این دما میزان وارد شدن سریوم به ساختار با افزایش غلظت سریوم تا ۰/۳ کمتر از افزایش و سپس کاهش می‌یابد [۳۲]. اندازه‌ی بلورک‌ها روی سطح فیلم با استفاده از X'pert فرمول دبای شرر و با یاری نرم افزارهای PANalytical و OriginLab محاسبه شد، که نتایج در جدول‌های ۱ و ۲ آورده شده‌اند، بر اساس داده‌های جدول ۱ مشاهده می‌شود که اندازه‌ی بلورک‌ها در گستره‌ی ۳۰ تا ۳۶ نانومتر است. در نتیجه با افزایش غلظت سریوم از صفر تا ۰/۳ اندازه‌ی ذرات کاهش می‌یابد و سپس با افزایش این ماده، اندازه‌ی ذرات افزایش خواهد یافت. بنابر جدول ۲ مشاهده می‌شود که بالا رفتن دما برای نمونه‌ی ۰/۳ تا ۸۵۰°C، سبب افزایش اندازه‌ی ذرات شده است، نتایج نشان می‌دهد که پس از جذب انرژی گرمایی بیشتر، بلور کامل‌تر شده و اندازه‌ی بلورک‌ها افزایش می‌یابد. بنابراین انرژی گرمایی عامل اصلی در کنترل اندازه‌ی بلورک‌هاست، ولی در ۹۰۰°C این مقدار کاهش یافته است، که این مورد ناشی از ناپایداری Ce:YIG در این



شکل ۲ الگوی پراش پرتو ایکس لایه‌های نازک $\text{Y}_{3-x}\text{Ce}_x\text{Fe}_5\text{O}_{12}$ پخته شده در دمای 800°C و به مدت ۳ ساعت.



شکل ۳ الگوی پراش پرتو ایکس لایه‌های نازک $\text{Ce}_{0.3}\text{Y}_{2.7}\text{Fe}_5\text{O}_{12}$ پخت شده در دمای 700°C تا 900°C به مدت ۳ ساعت.

جدول ۱ اندازه‌ی بلورک‌ها بر سطح بستر کوارتز لایه‌های نازک Ce:YIG در دمای 800°C

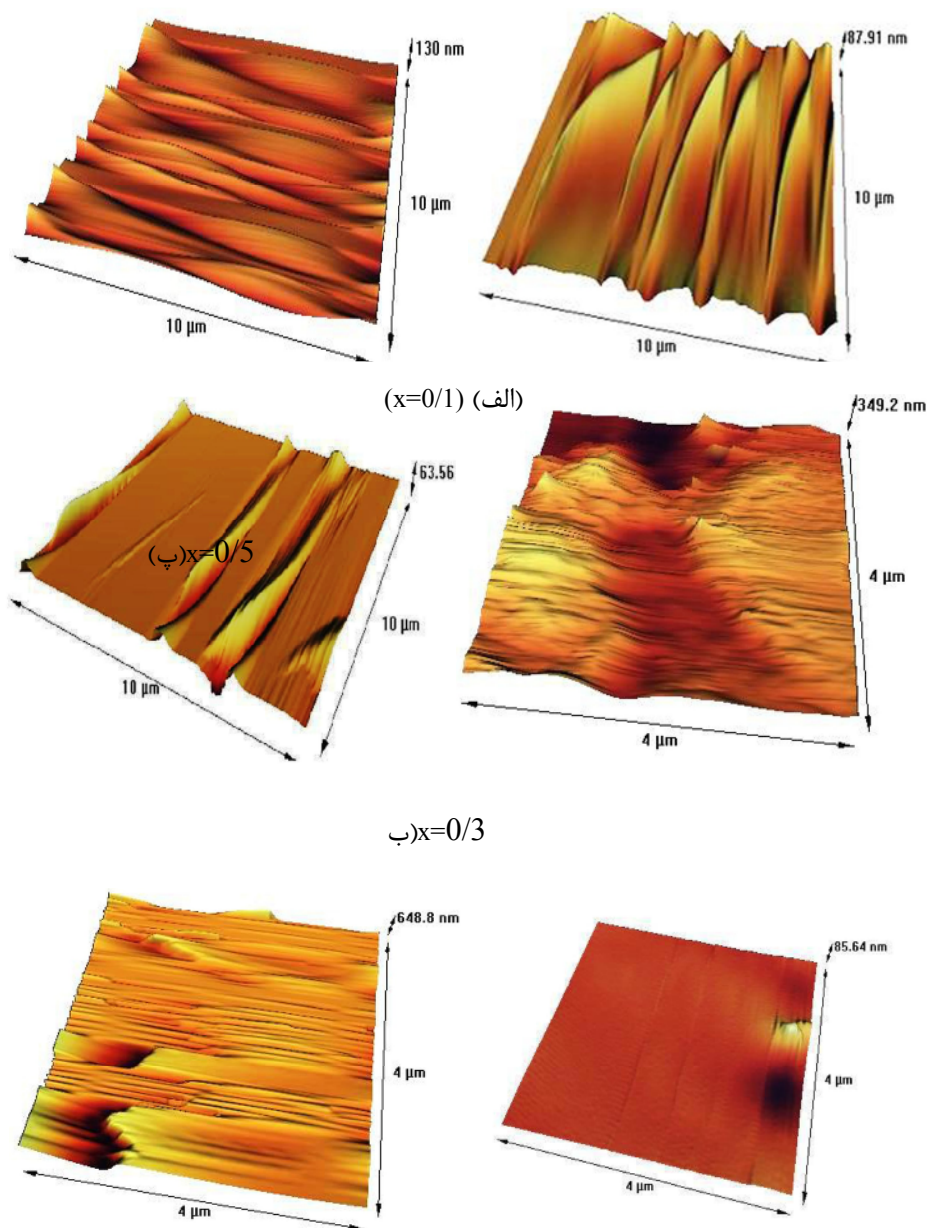
اندازه‌ی بلورک‌ها (nm)	اندازه‌ی بلورک‌ها (nm)	جانشانی
۳۶		$x=0.0$
۳۵		0.1
۲۳		0.3
۲۶		0.5
۳۰		0.7

جدول ۲ اندازه‌ی بلورک‌ها بر سطح بستر کوارتز لایه‌های نازک $\text{Ce}_{0.3}\text{YIG}$ در گستره‌ی دمایی 700°C تا 900°C ($x=0.3$)

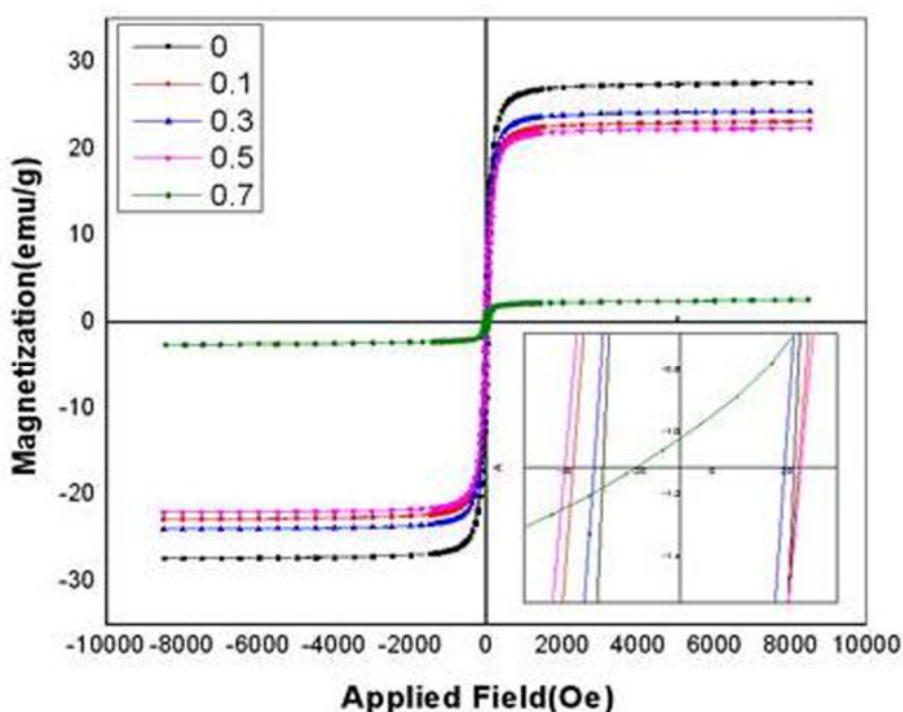
اندازه‌ی ذرات (nm)	دما (°C)	$x=0.3$
۱۷	۷۰۰	
۲۳	۸۰۰	
۲۴	۸۵۰	
۲۱	۹۰۰	

جدول ۳ تغییرات ثابت شبکه لایه‌های نازک $Y_{3-x}Ce_xFe_5O_{12}$ بر بسترهای کوارتز در دمای $800^{\circ}C$.

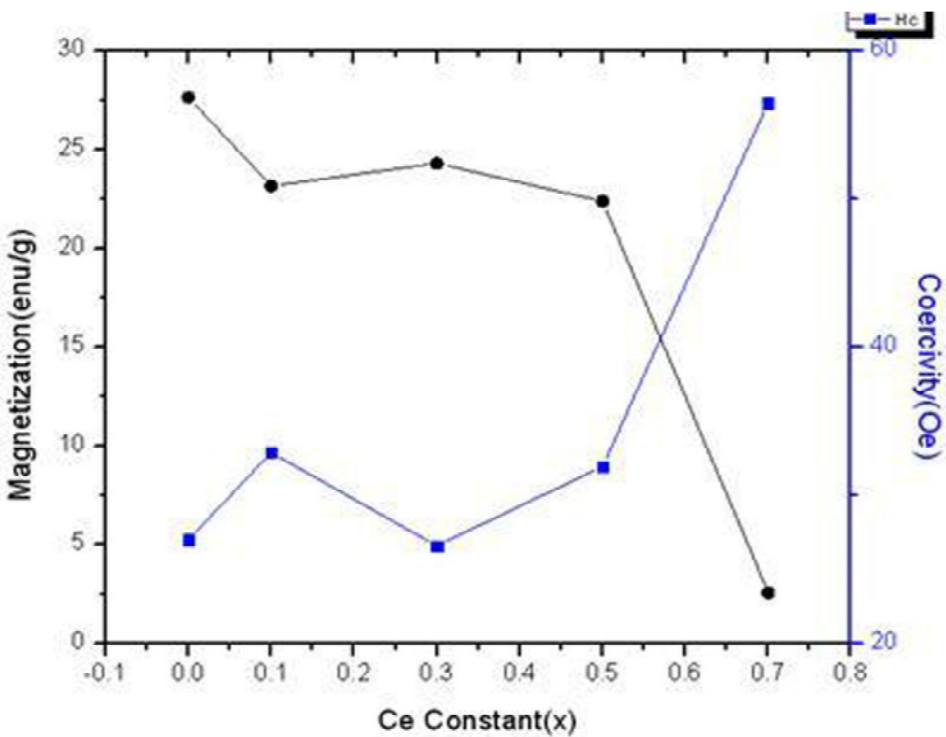
ثابت شبکه YIG مکعبی (Å) (آنگستروم)	جانشانی ($Ce(x)$)
۱۲.۲۶	$x=0.0$
۱۲.۲۸	0.1
۱۲.۲۹	0.3
۱۲.۳۸	0.5
۱۲.۴۴	0.7



شکل ۴ تصاویر میکروسکوپ نیروی اتمی (AFM) لایه‌های نازک $Y_{2/9}Ce_{0/1}Fe_5O_{12}$ با دو بزرگنمایی مختلف، و لایه‌های نازک $(Y_{2/5}Ce_{0/5}Fe_5O_{12})$ و $(Y_{2/7}Ce_{0/3}Fe_5O_{12})$ در دمای $800^{\circ}C$



شکل ۵ چرخهٔ پسماند مغناطیسی لایه‌های نازک

شکل ۶ منحنی مغناطیش و وادارندگی لایه‌های نازک $Y3-xCexFe5O12$ بر حسب میزان جانشانی Ce

کوارتز به روش پوشش دهندهٔ چرخشی لایه نشانی شدند. کمترین دمای تشکیل فاز گارنت روی این بسترهای 800°C به دست آمد. کاهش چشمگیر دمای تشکیل فاز نسبت به نمونه‌های به دست

برداشت
لایه‌های نازک گارنت ایتریوم آهن جانشین شده با سریوم $(\gamma/\omega_5/\omega_3/\omega_1/\omega_0 = x)$ به روش سل – ژل، روی بسترهای

- [8] Kajiwara Y., Harii K., Takahashi S., Ohe J., Uchida K., Mizuguchi M., Umezawa H., Kawai K., Ando K., Taankanashi K., Maekawa S., Saitoh E., "Transmission of electrical signals by spin-wave interconversion in a magnetic insulator", Nature 464, London, (2010), pp 262
- [9] Uchida K., Xiao J., Adachi H., Ohe J., Takahashi S., Ieda J., Ota T., Kajiwara Y., Umezawa H., Kawai H., Bauer G.E.W., Maekawa S., Saitoh E., "Spin seebeck insulator", Nature, Mater 9 (2010), pp 894.
- [10] Sandweg C., Kagiwara Y., Ando K., Saitoh E., Hillebrands B., "Enhancement of spin pumping efficiency by spin wave mode selection", Appl, Phys, Lett 97 (2010), pp 252504
- [11] Xiao J., Bauer G.E.W., Uchida K., Saitoh E., Maekawa S., "Theory of magnon-driven spin seebeck effect", Phys, Rev. B 81 (2010), pp 214418
- [12] Padron-Hernandez E., Azevedo A., Rezende S.M., "Amplification of spin waves by thermal spin-transfer torque", Phys. Rev. Lett. 107 (2011), pp 197-203
- [13] Kurebayashi H., Dzyapko O., Demidov V.E., Fang D., Ferguson A.J., Demokritov S.O., "controlled enhancement of spin-current emission by three-magnon splitting", Nature, Mater 10 (2011), pp 660.
- [14] Spark M., Ludon R., Kittel C., "Ferromagnetic relaxation theory of the relaxation of uniform precession and degenerate spectrum in insulator at low temperatures", McGraw-Hill, New York (1961), pp 791-803.
- [15] Sun Y., Yeal song Y., Chang H., Kabatek M., Jantz M., Schnieder W., Wu M., Schultheiss H., Hoffmann A., "Growth and ferromagnetic resonance properties of nanometer thick yttrium iron garnet films", Applied Physics letters 101 (2012), pp 152405.
- [16] Hiroshi Takeuchi, shin ichi ito, Itsuo Mikami and Satoshi Taniguchi, "Faraday rotation and optical absorption of a single crystal of bismuth substituted gadolinium iron garnet", J.Appl.phys. 44 (1973), pp 4789-4790.

آمده از روش PLD نشان می دهد که روش به کار رفته برای تهیه لایه های نازک انتخاب مناسبی است. تصویر AFM نشان می دهد که لایه های نازک تهیه شده دارای همبندی و یکنواختی بهتری نسبت به نمونه های به دست آمده از روش های دیگر دارند. بررسی رفتار مغناطیسی نشان می دهد که با افزایش میزان جانشانی، سریوم، مغناطش اشباعی کاهش می یابد.

مراجع

- [1] Bertaut E.F., Forrat F., "Structure de ferrite ferrimagnetiques des terres rares", Comptes Rendus Hebdomadaires des séances de Academie des science 242 (1956), pp 382-383
- [2] Bertaut E.F., Forrat F., Herpin A., "Etude par diffraction de neutrons du garnat ferrimagnétique $Y_3Fe_5O_{12}$ ", Academie des science 243 (1956), pp 898-901
- [3] Gillo M.A., Geller S., "Magnetic and crystallographic properties of substituted Yttrium-Iron garnet, $3Y_2O_3 \cdot xM_2O_3 \cdot (5-x)Fe_2O_3$ ", Bell telephone laboratories, Murray Hill, New Jersey, Acta,Cryst, Physical Review, Vol.10 (1957), pp 73-78.
- [4] Neel L., "Magnetic properties of ferrites; Ferrimagnetism and antiferromagnetism", Ann. Phys. Paris 3 (1948), pp 137-198
- [5] Lahoubi M., "Temperature Evolution of the Double Umbrella Magnetic Structure in Terbium Iron Garnet", Neutron Diffraction, Prof. Irisali Khidirov (Ed.), ISBN: 978-953-51-0307-3, InTech, Available from:<http://www.intechopen.com/books/neutron-diffraction/temperature-evolution-of-the-double-umbrella-magneticstructure-in-terbium-iron-garnet> (2012), pp 203-230
- [6] Ozturk Y., Ebeoglugil M.F., Celik E., Avgin I., "Cerim-Doped Yttrium iron garnet thin films prepared by sol-gel process synthesis, characterization, and magnetic properties", proceeding of the international conference on nanoscale magnetism ICNM, Edited by B.Aktas, F.Mikailov, Istanbul, Turkey (2007), pp 113.
- [7] Mingliu J., "Photonic Devices", Cambridge university press (2005), pp 290-356

- on Si substrates", Apply surface science 253 (2006), pp2108-2112.*
- [26] Blbrahim N., Edward C., Palmer S.B., "Pulsed laser ablation deposition of Yttrium iron garnet and Ce-substituted YIG films", J. Mag. Mag. Mater.220 (2008), pp183-194.
- [27] Yoshiki Nakata, Tatsuo Okada, Mitsuo Maeda, Sadao Higuchi, Kiyotaka Ueda, "Effect of oxidation dynamics on the film characteristics of Ce:YIG thin films deposited by pulsed-laser deposition" Optics and Lasers in Engineering 44 (2006), pp147-154
- [28] M-B.Park, N-H.Chao "Structural and magnetic characteristics of yttrium iron garnet (YIG,Ce:YIG) films prepared by RF magnetron sputter techniques",J. of Mag. Mater. 231 (2001), pp253-264
- [29] C.JeffreyBrinker, George.W.Scherer,"Sol-gel science the physics and chemistry of sol-gel processing", Academic press (1990),p2
- [30] Zhongjun chen, HuaYang,"Magnetic properties of Nd-YIG nanoparticles", (Recievd 19 November 2006),Springer (2007),pp1065-1069
- [31] Tze-Chern Mao, Jyh-Chen Chen, "Influence of the addition of CeO₂ on the microstructure and magnetic properties of yttrium iron garnet ceramic", Journal of magnetism and magnetic materials 302 (2006), pp74-81
- [32] Xiaofeng Guo, Amir H.Tavakoli, Steve Sutton, Ravi Kukkudapu, Liang Qi, Antonio Lanzirotti, Matt Newvill, Mark Ast, and Alexandra Navortsky,"Cerium substitution in yttrium iron garnets, valence state, structure, and energetics", Journal of chemistry of materials (2013), ppA-K
- [33] Zhongjun cheng,Yuming Cui,Hua Yang,Yan chen, "Effect of Lanthanum ions on magnetic properties of Y₃Fe₅O₁₂ nanoparticles", J Nanopart 11 (2009), pp1185-1192
- [34] H.G Beh,R.Iramawati, Y.Noorhana and K.P.Lim," Phase Evolution and crystallite size of La-substituted YIG at different calcination temperature", International Journal of Engineering & Technology IJET-IJENS Vol.9 (2009), pp59-62
- [17] Manabu G. hiroshi F., Msanori A., "Enhancement of Faraday effect in highly Ce-Substituted YIG epitaxial films by RF Sputtering, Japan", J. Appl.Phys.29 L (1990), pp 99-100.
- [18] Hyonju Kim, A. M. Grishin, K. v. Rao, "Ce-Substituted YIG films grown by pulse laser deposition for magneto-optical waveguide devices", IEEE Trans. Magn. 35 (1999), pp 3163-3165.
- [19] Haitao Xu., Hua Yang., "Magnetic properties of YIG nanoparticles doped Bi and Ce ions" Mater. Manufac.proce.23 (2008), pp 1-4
- [20] Hasanpour A., Amighian J., Mozaffari M., "The use of Mechanochemical Processing in Preparation of Ultrafine Bi-Substituted Yttrium Iron Garnet (Bi-YIG)", Iran Journal of Crystallography and Mineralogy, Vol. 12, No. 1 (2004), pp25-30
- [21] Hasanpour H., Mozaffari M., Amighian J., Richert H., Lorenz A., Linder M., Gönert P., Heegn H., "Preparation and Magneto-Optical properties of BiY₂Fe₅O₁₂ organic nanocomposite films", Journal of magnetism and magnetic materials 317 (2007),pp41-45
- [22] Tehranchi M.M, Hamidi S.M, Hasanpour A., Mozaffari M., Amighian J., "The effect of target rotation rate on structural and morphological properties of thin garnet films fabricated by pulsed laser deposition", Optics & Laser Technology 43 (2011), pp609 - 612
- [23] Gambino R. J., Suzuki T., 2000, "Magneto-optical recording materials, New York", IEEE press.
- [24] S. M. Shahrokhvand, ASH Rozatian, M .Mozaffari, S.M Hamidi, M. M. Tehranchi, "Preparation and investigation of Ce;YIG thin films with a high magneto-optical figure of merit", Appl .Phys 45 (2012), pp1-5
- [25] Xiongtu zhou, Wenguan cheng, Fangting lin, Xueming MO, Wngzhou shi, "Effect of post-annealing temperature on the microstructure and magnetic properties of Ce:YIG thin films deposited

- [37] Nelyc D.S Mohallem et al, "Magnetic nanocomposite thin films prepared by sol-gel process", Brazilian Journals of Physics, vol.36 (2006), pp1078-1080
- [38] Sanjay Mathur, Michael Veith, Rasa Rapalaviciute, Hao Shen, Gerardo F.Goya, Waldir L.Martins Filho, and Thelma S.Berque, "Molecule Derived synthesis of nanocrystalline YFeO₃ and investigations on its weak ferromagnetic behavior", Chem.Mater 16 (2004), pp1906-1913.
- [35] Zhongjun cheng, Hua Yang, Lianxiang Yu, WeiXu,"Saturation magnetic properties of Y₃._xRe_xFe₅O₁₂ (Re:Gd,Dy,Nd,Sm and La)nanoparticles grown by a sol-gel method", Springer 19 (2008), pp442-447
- [36] Sandhana katlakanta and S.R.murthy,"Effect of oxygen pressure on structural and magnetic properties of YIG thin films", AIP conference (2012), pp719-720